

II-67 河口による波の散乱について

徳島大学工学部 正員 工修 三井 宏

1. はじめに

昭和34年の伊勢湾災害における海岸堤防の被害調査¹⁾によると、河口部や干拓地のように堤防法線が折れ曲がり、左地帯から少し離れた所で破堤したものが多かったのである。このような現象が起る原因の1つは、いわゆる波の散乱により生じた海面上の波高分布の相異によるものと思われる。河口附近の波の散乱による波高の最大値の位置をよりその値を求めて、堤防有効高設計の参考に供するのがこの研究の目的である。

2. 実験

模型は波が河口に直角に入射する場合を対象としたので、中心線より半分の部分だけとした。堤防の模型は木製鉛直壁とし、図1に示すように配置して、河口幅の半分 $B/2$ は 1.0, 2.0, 2.8m の3種類、周期 T は 0.8, 1.2sec の2種類、水深は一様に 30cm としたから、河口幅 B と水深 30cm における長さ L との比 B/L の範囲は 1.1 ~ 5.0 であった。測定したのは入射波の諸元、壁面 AB , CD , DE 沿りの波高である。規則的平面波を起すことが困難など、水槽幅の関係で海岸堤防 DE の延長が不足したこと、およびE点にあたる消波工の効果が十分でないことにより、実験精度はあまり良好ではなかった。すなわち、D点で発生した擾乱波がE点で反射され、DE壁面に沿ってかなりの副振動を生じた。この現象は実験目的外であるが、このよき形状の河道中で波が進行する場合には、異常に大きい波高が発生することを暗示するものである。

3. 解析方針

河口堤防の隅角部で生じる散乱波がもとよりの隅角部で発生する散乱波に多少の影響を及ぼす程度に河口幅が大きい場合には、半分平面を堤防に対する散乱波を重ね合わせることにより、海面および河道内の波高分布を近似的に求めることはできることを考えられる。このよき境界条件における散乱波の相位を調べることは今後の研究課題である。河口幅が狭くあり、両隅角部における散乱波が互に強く影響し、その結果、河道内で波高や流速などの波の諸元が一様にならぬ場合には、つまり上式の近似解法が適用でき、ある程度、散乱の相位をつかむことができる。これは合田、Ippen²⁾が港内振動を求めるのに用いた手法と同じように、ヘルムホルツの式を、河道内において波の諸元は一様、堤防壁面に直角方向の流速は 0、海上無限遠處で擾乱波の波高は 0 といふ境界条件下に解いたものである。すなわち、座標軸を図2のようにして、入射波高を 1 とし、時間因子 $e^{i\omega t}$ を落して考慮、 $\kappa = 2\pi/L$ とすれば海面上の波は、

$$f = \exp\{i\kappa(x \cos \theta + y \sin \theta)\} + \exp\{i\kappa(x \cos \theta - y \sin \theta)\} + f'(x, y) \quad (1)$$

河道内の波は、

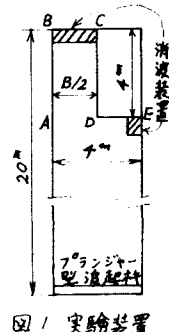


図1 実験装置

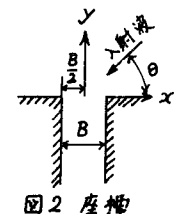


図2 座標

$$f = C \exp\{i(kx + \omega t)\} \quad (2)$$

である。すなはち、 $f'(x, y)$ は散乱波の修正項である。

$$f'(x, y) = \frac{2kC}{\pi} e^{iw} \left\{ -i \int_{-\infty}^{\infty} \frac{e^{-iy\sqrt{k^2-u^2}}}{u\sqrt{u^2-k^2}} \sin \frac{uB}{2} \cos ux \cdot du - \int_0^k \frac{e^{-iy\sqrt{k^2-u^2}}}{u\sqrt{k^2-u^2}} \sin \frac{uB}{2} \cos ux \cdot du \right\} \quad (3)$$

$$C \text{ は河道内の波高 } \text{, } \quad C = \pi / k \sqrt{I_1^2 + (I_2 + \frac{\pi}{2k})^2} \quad (4)$$

ω は河道内の波と入射波との位相差 φ である。

$$\tan \omega = \frac{-I_1 + \tan(kx \cos \theta) \cdot (x/2k + I_2)}{\pi/2k + I_1 \tan(kx \cos \theta) + I_2} \quad (5)$$

$$I_1 = \int_{-\infty}^{\infty} \frac{2 \sin^2(uB/2)}{Bu^2\sqrt{u^2-k^2}} du, \quad I_2 = \int_0^k \frac{2 \sin^2(uB/2)}{Bu^2\sqrt{k^2-u^2}} du \quad (6)$$

(1) 式および(2)式の絶対値は波高を表す、偏角は位相差 φ である。³⁾

(3) また(5)式の数値計算結果は図3に示す、 $y=0$, $|x| > \frac{B}{2}$,

$\theta = \pi/2$ すなはち、波が海岸線に直角に入射するときの海岸堤防沿いの波高を表す。

(1) 式の計算結果は図4に示す。図3によれば、河口幅が小さくなるにつれて河道内の波高は入射波高の

2倍に近づき、 $B/L > 0.8$ では入射波高とはほぼ同じであることがわかる。

また、位相差 ω は負の値をもつから、河道内の波の位相は入射波のそれよりもあくまでも遅れることを示している。

図4の縦軸 K' は堤防前面波高と入射波高との比で、河口部から離れるにつれて、完全重複波の $K' = 2$ に近づいていく。

完全重複波の影響で、堤防側面部から約 $\frac{1}{3}$ 波長離れた位置で第1次の波高最大値が現れる。

完全重複波高より2割ほどの波高増大が現れるようである。

参考文献

1) 竹内、福岡、細井、吉川、木下、土屋、富永、三井：伊勢湾台風

による高潮と被害の特性、建設省土木研究所報告、110-2, 昭36.2

2) 合田：長方形および角形の港内の副振動について、第10回海岸工

学講演会講演集、昭38

3) Penny and Price: the Diffraction Theory of Sea Waves and the Shelter afforded by Breakwaters, Philo. trans. of Roy. Soc. of London, A-248, 1951~1952.

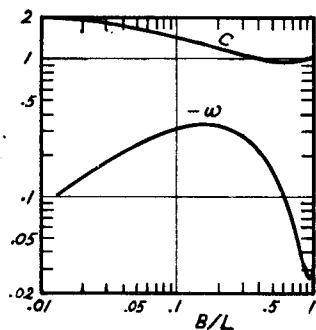


図3 河道内波高と位相差

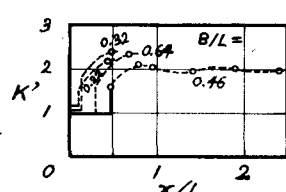


図4 堤防前面波高